

限られEマシソールより得られた非超過確率水質値の分布に関する2, 3の考察

イトコンソール 正員 柳田 信夫
岡山工芸学部 正員 河原 長美

1. はじめに

公営水域における水質検査基準の適合判定に關しては、非超過確率75%確率水質を用いられてゐる。75%確率に關しては、低水に於いては、環境基準が達成した水質を保障するE値という根拠付けがなされてゐるが、水質の悪化が低下し低流量時に在りしものならば、これを考慮する。75%という確率値自身に科学的根拠がなされてゐるもの、こゝでは、確率値自身の妥当性は認められ、現実の適合判定に關しては、比較的少数のデータより判定が行なわれてゐることに着目し、少数データより算出された非超過確率水質値がどのような分布を示すか關して、理論的に検討を加へる。

2. 解析に用いたデータ

本研究に用いた各種水質データは、旭川支団地点に於いて、毎日定時観測により得られたデータであり、毎日午前10時に定時採水を行ひ、実験室で分析したものである。分析項目は、SS(カラスライバ-洋紙法)、濁度(吸光光度法)、COD(酸性价)、全窒素(理化学法)、全リン(混合試薬法)の5項目である。SSと濁度は、昭和54年9月から昭和56年11月までの27ヶ月分、CODは昭和55年3月から昭和56年11月までの16ヶ月分、TPとTNは、昭和55年11月から昭和56年11月までの13ヶ月分である。なお、この水質指標は、同一日における流量データは、支団地点より約2km上流にある北方地点の昭和54年9月から、昭和56年11月までの日流量を用いた。

3. 非超過確率水質の推定値の確率密度関数

確率密度関数 $f(x)$ に從う母集団より得られた n 個の標本を考へる。今小さい順に各標本の値を u_1, u_2, \dots, u_n とすると、 u_1 から u_n までの間に非超過確率は、 $u_i/(n+1)$ 、 $u_{i+1}/(n+1)$ となる。非超過確率 $P(\%)$ に相当する値 w と、 u と v を用いて内挿により求めるものとすると、 $w = au + bv$ となり、線形内挿を用いると、 $a = P(n+1) - u_i, b = 1 - P(n+1) + u_{i+1}, u_i = [(n+1)P]$ 、(こゝに、 $[\]$ はカラスの記号)となる。この時、 w に從う確率分布関数 $G(w)$ は、

$$G(w) = \frac{n!}{(k-1)!(n-k)!} \int_0^w \frac{w-u}{a} F(u)^{k-1} (1-F(v))^{n-k-1} f(u) f(v) dv$$

であり、 w の確率密度関数は、数値微分により求める。

4. 結果と考察

4.1 各水質指標の従う分布

各水質指標の従う分布を、 k 枚正規分布、ピアソンIII型1母数分布、ピアソンIII型2母数分布、ピアソンIII型3母数分布、 T より W に k 枚ピアソンIII型分布の5つの分布に検討する適合性を検討した結果、最も適合性が良好な分布は、表1のとおりである。TN以外の指標は、 k 枚正規分布に、TNでは、ピアソンIII型2母数分布に従つてゐる。なお、 $k-S$ 検定により検討した

表 1 確率密度関数の推定式

Q	$f(x) = \frac{1}{0.8126x(2\pi)^{1/2}} \exp\left[-\frac{(\ln x - 3.711)^2}{2 \times 0.6603}\right]$
SS	$f(x) = \frac{1}{1.039x(2\pi)^{1/2}} \exp\left[-\frac{(\ln x - 1.570)^2}{2 \times 1.078}\right]$
TUR	$f(x) = \frac{1}{0.9807x(2\pi)^{1/2}} \exp\left[-\frac{(\ln x - 2.307)^2}{2 \times 0.9617}\right]$
COD	$f(x) = \frac{1}{0.6261x(2\pi)^{1/2}} \exp\left[-\frac{(\ln x - 0.5749)^2}{2 \times 0.3920}\right]$
TP	$f(x) = \frac{1}{0.7460x(2\pi)^{1/2}} \exp\left[-\frac{(\ln x + 3.586)^2}{2 \times 0.5565}\right]$
TN	$f(x) = \frac{1}{0.2270x\Gamma(2.936)} \left(\frac{x}{0.2272}\right)^{2.936} \exp\left[-\left(\frac{x}{0.2272}\right)\right]$

結果、5%水準で帰無仮説が否定されたのは濁度、TN、COD であり、帰無仮説が否定されなかった場合には7回以上。最も適合性が良好な場合を示している。

4.2 非超過確率水質の推定値の分布

SSに別に取り、非超過確率75%、50%、25%について、 $n=9$ 枚12個、24個、36個、48個、52個、104個、180個、360個の時の確率密度関数を図1~3に示す。分布範囲の広いものはデータ数が少ない。

また、濁度と例として、縦軸に(推定値)/(分布より求めた真値)、横軸に採水間隔を取って、図示したものが図4である。

図1~3より、 $n=9$ が多ければ、推定精度がよくなることは、明らかである。

また図4より、非超過確率50%の時は、最も精度がよく、離れると、精度が悪くなることは明らかである。

また、非超過確率75%では、採水間隔が長くなると、高い値を示し、逆に非超過確率25%では、低い値を示すことが明らかである。

5. まとめ

本研究では、非超過確率水質の推定値の分布関数を理論的に誘導し、実測値によって決定された各水質値の確率密度関数を用いて、水質指標ごとに、非超過確率水質の推定精度について検討を加えた。

その結果、以下のことが明らかになった。

- (1) 非超過確率水質の推定精度は、工場の高く低く、70%信頼区間を2室に収めるとは、1つずつの小さいCODでは、3日に1回、1つずつの大きいSS、濁度では、毎日採水しなければならない。
 - (2) しかしながら、非超過確率75%では、全体に高いめに算出される傾向にあり、水質管理上安全側に判定されたことは明らかである。
- また、この傾向は、 $n=9$ から直接算出した結果と一致する。

数値の関係で、説明が十分な点が多数認められるが、詳細は、演習時に発表する予定である。

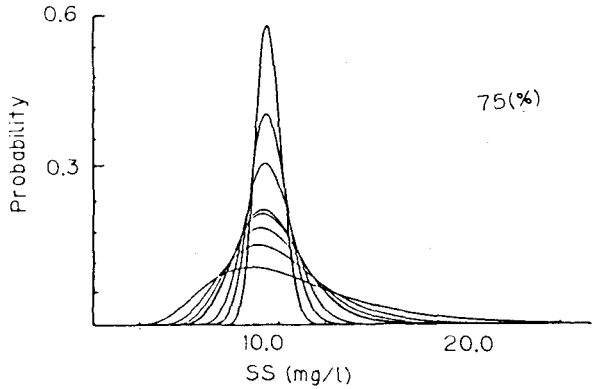


図 1 非超過確率水質推定値の確率密度関数

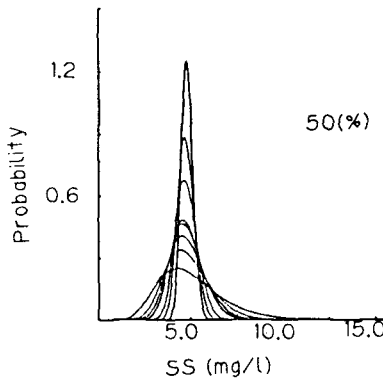


図 2 非超過確率水質推定値の確率密度関数

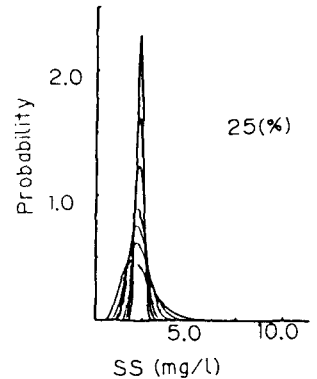


図 3 非超過確率水質推定値の確率密度関数

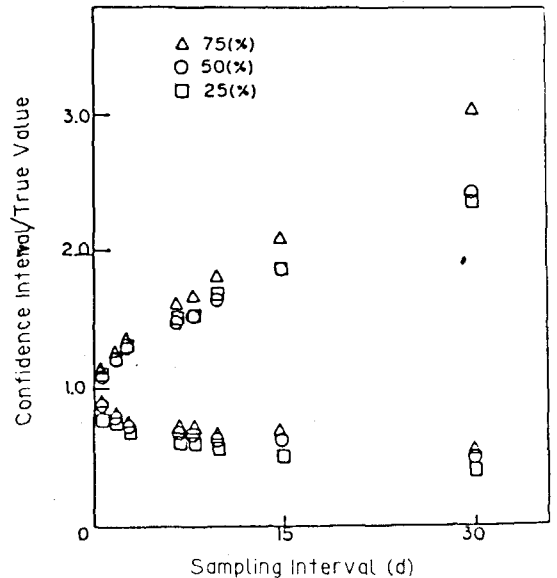


図 4 非超過確率水質推定値と真値との比